

Я.А. Коркодинов

I.A. Korkodinov

Пермский национальный исследовательский политехнический университет
Perm National Research Polytechnic University

О.Г. Хурматуллин

O.G. Khurmatullin

«Урал-инструмент-Пумори», г. Пермь

Ural-Tool-Pumori Ltd, Perm

ПРИМЕНЕНИЕ ЭФФЕКТА РАНКА – ХИЛЬША

THE APPLICATION OF RANQUE – HILSH EFFECT

Рассматривается история открытия и применения эффекта Ранка – Хильша в России и за рубежом. Описывается сущность эффекта и основные понятия, необходимые для его изучения, простейшие случаи вихревого движения. Дан обзор основных конструкций вихревых трубок. Рассматривается возможность и особенности применения вихревых трубок для сепарации газов. Делаются выводы и обозначаются дальнейшие направления исследования.

Ключевые слова: эффект Ранка – Хильша, вихревая трубка, охлаждение и нагревание газа, конденсация жидкости, сепарация природного и попутного газа.

The history and application of Ranque – Hilsh effect in Russia and abroad are considered. The main conception of effect is presented. The two main cases of vortex motion are considered. The main design features are reviewed. The probability and special features of vortex tube application for gas separation are considered. The conclusions are made. Further investigations are described.

Keywords: Ranque – Hilsh effect, vortex tube, gas cooling and heating, fluid condensation, natural and associated gas separation.

сячи работ по применению эффекта в самых разных областях человеческой деятельности, от охлаждения кабин поездов до создания холодильных установок в развивающихся сообществах африканского континента.

В Советском Союзе первые исследования эффекта Ранка начали проводиться В.С. Мартыновским и В.П. Алексеевым [1–4] в Одесском технологическом институте в 1952 г. Активное развитие теории, разработку методов расчета и конструирование вихревых труб проводил А.П. Меркулов [5]. По его инициативе было проведено шесть всесоюзных конференций. В его трудах рассматривается возможность применения вихревых труб для осушения сжатых газов. Широко известна книга А.Д. Суслова [6], в которой рассматриваются вихревые аппараты, применяемые для охлаждения и нагревания газов, сепарации двухфазных сред, разделения газовых смесей и вакуумирования.

А.Ф. Гуцол сделал обзор [7], в котором обобщил большинство существующих на тот момент российских теорий. Также он выдвинул свою теорию, согласно которой разделение газа в вихревой трубе происходит с помощью микрообъемов с разной кинетической энергией и скоростью. Более быстрый газ будет двигаться на периферию, тогда как более медленный будет скапливаться в центре. Широко известны в мире работы А.И. Леонтьева [8], в которых он предлагает свое объяснение процессов, происходящих в вихревой трубе. В работе [9] рассматриваются возможности применения вихревых трубок в сушильных процессах.

Следует отметить также зарубежные работы. Обширное исследование по применению вихревых трубок для сепарации газов было проведено в Oak Ridge National Laboratory [10]. В работе [11] делается предположение о возникновении обратного цикла Карно внутри вихревой трубы. Обширный обзор литературы, попытка модифицировать теорию из [11], а также ряд новых экспериментальных данных были получены в работе [12].

Сущность эффекта Ранка – Хильша. Рассмотрим подробнее устройство вихревой трубы (рис. 1). Вихревая трубка состоит из следующих частей: одно или несколько входных отверстий, вихревая камера, выходы для холодного и горячего газа и непосредственно сама трубка [12]. Сжатый газ под высоким давлением (6 бар) проникает в вихревую камеру. После этого газ закручивается и движется по направлению к выходу горячего газа. Часть газа охлаждается, расширяется и концентрируется в центре трубы. Другая часть газа приобретает более высокую скорость, нагревается и остается на периферии. При достижении контрольного клапана горячая составляющая выходит через выход горячего газа. Холодная составляющая сталкивается с контрольным клапаном и начинает двигаться в обратном направлении. Часть ее потом выходит через выход холодного газа, а часть движется обратно к контролльному клапану. Несмотря на кажущуюся простоту эффекта, причины его воз-

никновения не выяснены до сих пор. В настоящее время имеются тысячи самых разных его объяснений, но одного, которое можно было бы назвать единственно верным, не существует. Несмотря на то что были написаны подробные монографии по применению данного эффекта на практике [5, 6], в действительности данный эффект используется достаточно мало. Чтобы попытаться понять сущность эффекта, рассмотрим основные понятия гидродинамики вихревых потоков и характеристики вихревых труб [7].

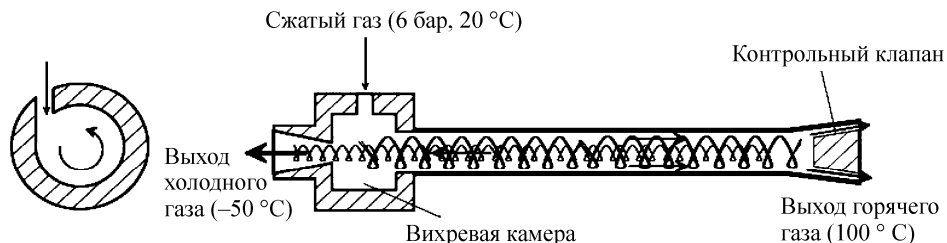


Рис. 1. Устройство вихревой трубы

Основные понятия. Для того чтобы оценить эффективность той или иной трубы, разными авторами вводятся некоторые параметры. Рассмотрим наиболее известные из них.

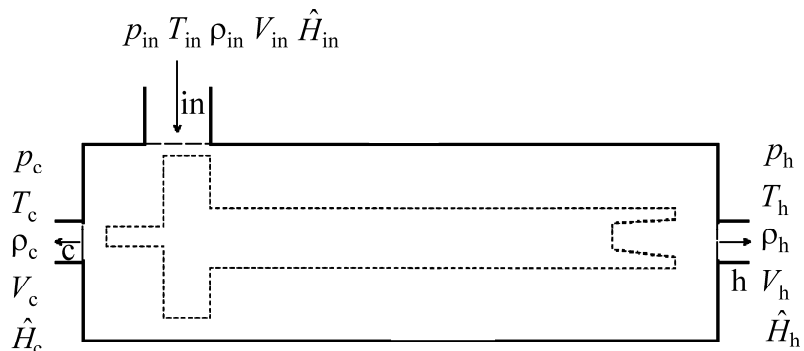
Задача сводится к тому, что на входе в систему имеется горячий поток с параметрами $p_{\text{in}}, T_{\text{in}}, \rho_{\text{in}}, V_{\text{in}}, \hat{H}_{\text{in}}$, а на выходе из неё – холодный поток с параметрами $p_{\text{out}}, T_{\text{out}}, \rho_{\text{out}}, V_{\text{out}}, \hat{H}_{\text{out}}$. Будем рассматривать следующие пять основных параметров системы: давление p , температуру T , плотность ρ , скорость V и энталпийный поток \hat{H} (рис. 2). Обозначим данные параметры на входе – $p_{\text{in}}, T_{\text{in}}, \rho_{\text{in}}, V_{\text{in}}, \hat{H}_{\text{in}}$, на выходе горячего потока – $p_{\text{h}}, T_{\text{h}}, \rho_{\text{h}}, V_{\text{h}}, \hat{H}_{\text{h}}$, на выходе холодного потока – $p_{\text{c}}, T_{\text{c}}, \rho_{\text{c}}, V_{\text{c}}, \hat{H}_{\text{c}}$.

Для постоянного потока условие сохранения массы жидкости в вихревой трубке можно записать как

$$\dot{m}_{\text{in}} = \dot{m}_{\text{h}} + \dot{m}_{\text{c}},$$

где \dot{m}_c – поток массы жидкости на выходе холодного потока, запишем его как $\varepsilon \dot{m}_{in}$; \dot{m}_h – поток массы жидкости на выходе горячего потока, запишем его как $(1-\varepsilon)\dot{m}_{in}$; \dot{m}_{in} – масса жидкости на входе; ε – доля холодного потока, одна из основных и наиболее известных характеристик вихревых трубок, находится по формуле

$$\varepsilon = \frac{\dot{m}_c}{\dot{m}_{in}}.$$



2.5.1.2. 5íëí½ñöë öëÜßjó

$$\omega = \frac{v}{r}.$$

Հի յԱն Նշօքնօն այօն օ՛ւ օիլ չիօա յշիքօշե՞ն ½ Նշօքնօն½ օչո չ օ՛ւ-
գնիօն ½ կօհե՞ն½.

加ÜÜööÜÜöÜ Ü öéÜÜ äeö½ñÖ ñöÜ äÜÜ ööñ £íçóéëñÖÜÜÜö, ó¿ó îóëÜÜ - îóó ÜÜëÜÜö.

$$\mathfrak{v} = \oint \bar{v} \cdot d\bar{l}. \quad (1)$$

ÆöÜë ½ äeÜïöñúü ó½ ï¿Üöíñ½ ÑçóçñÖö ç¿ ñöï ïçÜßÜÑÖ ú, ó¿ó äÜöñÖ-
îóí¿áÖ ú, çóêéá, jÜöÜë ú Üäöï çíñöï âÜë½Ü¿Üú

$$vr = \hbar = \text{const.}$$

Газообменный теплообменник (ГВТ) – это аппарат для обогрева газа, состоящий из вихревой камеры и теплообменника. Вихревая камера создает вихревые потоки газа, что способствует интенсивному теплообмену.

$$\nu = \frac{C}{r} \left[1 - \exp \left(-\frac{r^2}{r_0^2} \right) \right],$$

где r_0 – радиус трубы, ν – коэффициент теплообмена, C – константа, определяющая зависимость коэффициента теплообмена от радиуса трубы.

Зависимость коэффициента теплообмена от радиуса трубы имеет вид:

$$vr^n = \text{const}, \quad n = -1 \quad (0 < r < r^*), \quad n \leq 1 \quad (r^* \leq r).$$

Зависимость коэффициента теплообмена от радиуса трубы имеет вид:

$$vr^n = \text{const}, \quad n = -1 \quad (0 < r < r^*), \quad n \leq 1 \quad (r^* \leq r).$$

Основные конструкции вихревых трубок. Вихревые трубки классифицируются по способу создания вихревого движения газа:

- 1. Гидравлический способ: создается вихревое движение газа за счет разности давлений между входом и выходом из трубы.
- 2. Аэродинамический способ: создается вихревое движение газа за счет разности давлений между входом и выходом из трубы.
- 3. Магнитный способ: создается вихревое движение газа за счет разности давлений между входом и выходом из трубы.

Прямоточная вихревая трубка. Прямоточная вихревая трубка – это устройство, которое обеспечивает прямоточное движение газа, но при этом создает вихревое движение газа в тонкой трубке.

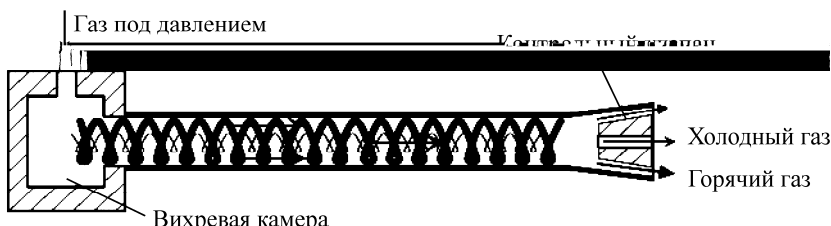


Рис. 3. Типичная прямоточная вихревая трубка.

Годы назад вихревые трубы были изобретены для охлаждения газа. На эффективность вихревой трубы значительное влияние оказывает ее геометрия. Одним из важных параметров является отношение длины трубы к ее диаметру. Соответственно, чем больше это отношение, тем эффективнее вихревая трубка. Чтобы сократить длину трубы, сохранив ее эффективность, применяют конические вихревые трубы (рис. 4). Для охлаждения широко используют конические трубы, в которые подается еще один поток газа с температурой как у входного потока, но при меньшем давлении. В этом случае охлаждающий эффект трубок возрастает.

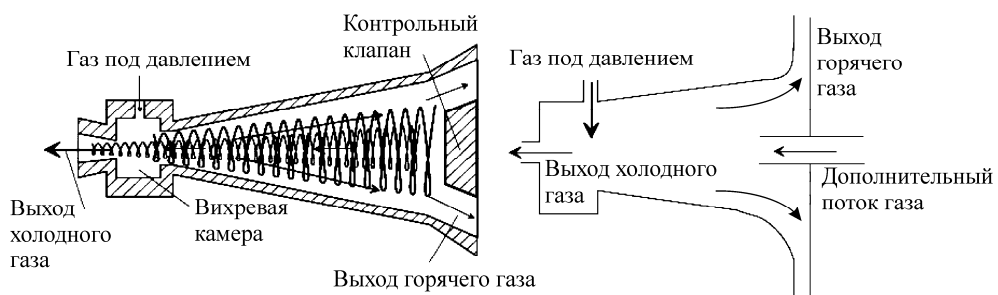


Рис. 4. Коническая вихревая трубка

В наши дни повсеместно распространено применение вихревых трубок как холодильников (см. www.vortexair.biz, www.airtx.com, www.newmantools.com).

Для их применения в данном качестве необходим лишь поток сжатого газа. На протяжении многих лет разными авторами предлагаются усовершенствования вихревых трубок, работающих как холодильные установки. Далее рассмотрим некоторые из них.

На рисунке 5 показаны две конструкции вихревых трубок для охлаждения газа. Трубка α имеет внутреннюю рубашку, заполненную охлаждающей жидкостью. Сжатый газ проходит по наружной поверхности рубашки, охлаждая ее. Охлажденная жидкость сливается вниз. Трубка β имеет внутренний канал для охлаждающей жидкости, охлаждающей газ, проходящий по наружной поверхности канала. Сжатый газ сливается вниз. В обоих случаях сжатый газ охлаждается за счет теплообмена с охлаждающей средой.

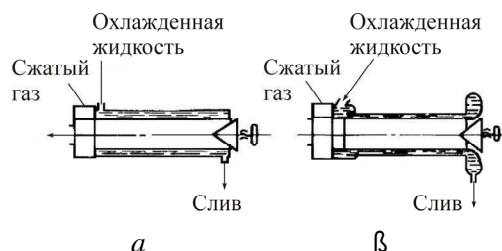


Рис. 5. Охлаждаемые вихревые трубы: α – с охлаждающей рубашкой; β – с охлаждающим жидкостным вихрем

костью. У второго есть кольцевая щель внутри трубы, через которую охлаждающая жидкость вводится с определенной скоростью закрутки и создает быстровращающийся цилиндрический слой, который движется к горячему концу и отводится через кольцевую щель около дросселя.

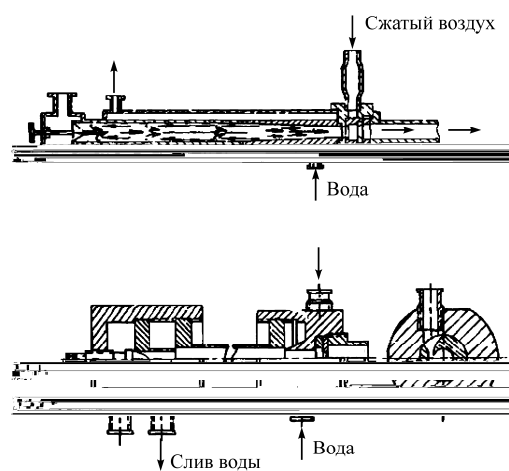


Рис. 6. Примеры конструкций охлаждаемых вихревых трубок

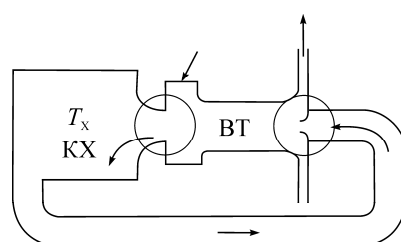


Рис. 7. Конструкция замкнутой вихревой трубы: T_x – температура в холодильной камере; КХ – холодильная камера; ВТ – вихревая трубка

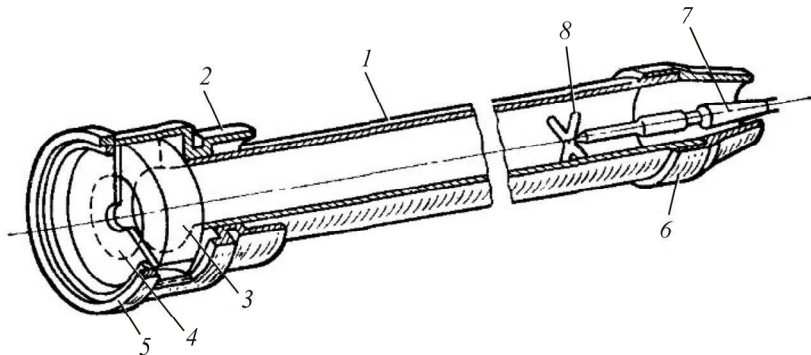
лообмен (за счет многократной циркуляции) в самой трубке. К сожалению, данная схема не смогла создать интенсивную прокачку холодного воздуха, а введение холодильной камеры себя не оправдало.

Также возможны схемы, где горячий поток поступает в резервуар с жидкостью, где охлаждается до температуры входного потока, после чего вместе с входным потоком опять поступает в вихревую трубку.

Разница температуры охлаждающей жидкости в $\pm 10^{\circ}\text{C}$ практически не влияет на эффект охлаждения. С другой стороны, регулировать температуру холодного потока вихревой трубы можно с помощью изменения расхода охлаждающей жидкости. На рис. 6 представлены примеры конструкций охлаждаемых вихревых трубок.

Вихревые трубы с многократной циркуляцией. Вихревые трубы обладают достаточно низким КПД (20–40 %). Для холодильных установок КПД можно повысить, используя энергию горячего потока, который обычно просто выбрасывается во внешнюю среду.

Можно подобрать такую конструкцию вихревой трубы, в которой поток не разделяется (рис. 7) [5]. В данной конструкции происходит многократная циркуляция потока. С каждым циклом температура охлажденной части потока становится еще ниже. В данном случае имеют место два основных процесса: вакуумирование холодного потока за счет закрутки горячего потока и регенеративный теплообмен (за счет многократной циркуляции) в самой трубке. К сожалению, данная схема не смогла создать интенсивную прокачку холодного воздуха, а введение холодильной камеры себя не оправдало.



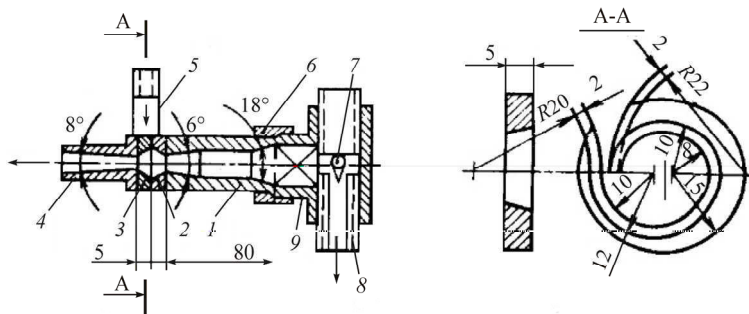


Рис. 9. Вихревая трубка Парулайкара: 1 – камера разделения; 2 – конфузор; 3 – сопло; 4 – диффузор; 5 – патрубок ввода сжатого воздуха, 6 – соединительная гайка; 7 – игольчатый вентиль; 8 – патрубок вывода потока; 9 – развихритель

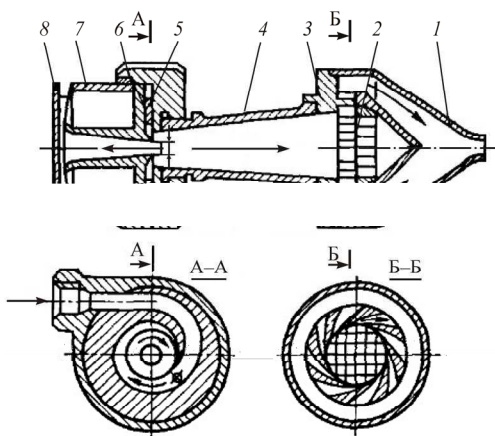


Рис. 10. Вихревая трубка Метенина: 1 – патрубок нагретого потока; 2 – сетка; 3 – лопаточный диффузор; 4 – вихревая камера; 5 – сопло; 6 – диафрагма; 7 – патрубок охлажденного потока; 8 – диск

ние вихревых трубок для сепарации газов открыло большие перспективы для исследователей в самых разных областях. Например, природный и попутный нефтяной газы, добываясь из скважины, не могут использоваться без предварительной обработки из-за большого содержания примесей. Так, в добываемом газе всегда присутствует влага в парообразном состоянии. При охлаждении газа или повышении давления влага конденсируется и может образовать свободную воду, лед или гидраты. Это может привести к коррозии металла, накоплению жидкости в линейной части газопровода, закупорке гидратными пробками и остановке подачи газа потребителям. Мировым лидером в применении вихревых трубок для осушки природного газа является немецкая

҃óêëñçí öëÜßjí тñöñöööí.

Еще одним вариантом конструкции является вихревая трубка Метенина (рис. 10). На нагретом конце камеры разделения данной трубы установлены сетка 2 и лопаточный диффузор 3. Эти элементы позволяют сократить длину камеры разделения. В данной конструкции сетка является развихрителем. Она затормаживает внутренние части потока, передавшие значительную часть своей энергии внешним слоям. Эти внутренние части и формируют внутренний поток с пониженной температурой.

ГїäÜçáÜçíÖóñ çóêëñç ê öëÜßjí ñç iñäíéíîó çí£Üç. Примене-

компания RWE Energy. Конструкция такой трубки (рис. 11) мало отличается от классической (см. рис. 1) [16]. При прохождении вдоль трубы часть газа охлаждается. Для некоторых компонентов, таких как пар, наступает температура конденсации. Также действует центробежная сила, которая при-

がÍÓÓÍ ÜTÍÖIÖÜçjí ß ¿í eÍfëeÍBÜööÍ Öñ½ñÍ ÜU áoé½ÜU c 2000 ç. ó çÖñ-
ÑëñÖÍ c äeÜófçÜñTöçÜ c 2006 ç. þäTöIÖÜçjí äeöçjñI íñö íçÜñú äeÜTöÜöÜú, c
íÜ-
íÜU ÖiññfÖÜTöáO ó ÑÜçÜçññöÜTöáO. Zí eööI. 13 öÜÜBëéfñÖÍ çóéëñçí
öeÜÜßí
äÜñçñ ä öö ¿ñö ÜtäñüÖÜçÜ åÜöI ióÜööeÜçíÖö. Zí Öñu Öñ ÜBÖíeÜfñÖÜ Ööjí ióé
çóñö½
é íçññÜç ½ññéIÖöññI ÜçÜ öÜÖÜñI. ÜÜ tñéíçÖññööO í öeíñö ióÜöö ½ó ÜÜ-
öIÖÜçjí½ñ Ñç ÜtÜÜ jö çífí äeö½ññööñ ççñjÜç ß ¿Ü tñöfñÖÜ Öí 90 %,
í öí fñ tñÜaññöçññööÜ tñÜ jeí añÖÜ ÖñçíööçÖÜñ ççñ
Öóñ Öí ÜjëÜfíO àÜO tñëññÜ.



၁၃။ ၁၃. နှုန်းချောင်း ထွေထွေ အဖြတ် အ ပို အ ပို အ ပို

Список литературы

ԷՅ; Առնօնական 1.11.2012

Сүрөттөөчөлөгч – аспирант, Пермский национальный исследовательский политехнический университет (614990, г. Пермь, Комсомольский пр., 29, e-mail: svarogjk1989@rambler.ru).

Пүрөхтөөчөлөгч – соискатель ПНИПУ, «Урал-инструмент-Пумори» (614107, г. Пермь, ул. Инженерная, 14, e-mail: oleg@uipumori.ru).

Korkodinov Iaroslav Aleksandrovich – Graduate Student, Perm National Research Polytechnic University (614990, Perm, Komsomolsky av., 29, e-mail: svarogjk1989@rambler.ru).

Khurmatullin Oleg Gadnanovich – Applicant, Ural-Tool-Pumori Ltd (614107, Perm, Inzhenernaya st., 14, e-mail: oleg@uipumori.ru).